

مقایسه روش هم‌هندسه با اجزای محدود در تحلیل دینامیکی مسائل کشسان دوبعدی*

پهروز حسنی^(۱) احسان زینانی عیدگاهی^(۲) علیرضا حسن‌زاده طاهری^(۳) ناصر ظریف مقدم^(۴)

چکیده موضوع این مقاله تحلیل دینامیکی مسائل دوبعدی کشسان به روش هم‌هندسه و مقایسه‌ی آن با روش اجزای محدود است. برای این منظور رابطه‌سازی معادله‌ی دیفرانسیل حاکم با استفاده از توابع پایه اسپلاین‌ها به‌دست آمده است. با طرح چند مثال که در آن از ماتریس‌های جرم سازگار و متمرکز استفاده شده است، به مقایسه‌ی جواب‌های روش‌های اجزای محدود و هم‌هندسه پرداخته شده است. همچنین تأثیر افزایش تعداد نقاط واریسی و افزایش درجه منحنی اسپلاین‌ها بر دقت جواب مورد بررسی قرار گرفته است. به علاوه، چون در تحلیل دینامیکی گذرا از روش نیومارک استفاده شده، به تأثیر عامل‌های α و γ بر حل مساله پرداخته شده است. نتایج حاصل، دقت بالای روش هم‌هندسه را در مقایسه با روش اجزای محدود، علی‌رغم به‌کارگیری تعداد بسیار کم‌تری از درجات آزادی و در نتیجه کاهش ابعاد دستگاه معادلات و زمان حل مساله، نشان می‌دهند.

واژه‌های کلیدی روش هم‌هندسه، تحلیل دینامیکی گذرا، اسپلاین‌ها، ماتریس جرم سازگار و متمرکز.

Comparison of Isogeometric Analysis and Finite Elements in Dynamic Analysis of 2D Elasticity Problems

B.Hassani

E.Zhiani

A.Hassanzadeh

N.zarif moghadam

Abstract Dynamic analysis of two-dimensional elasticity problems using the Isogeometric analysis method and its comparison with the finite element method is the subject of this research. For this purpose, formulation of the governing differential equation is obtained by using the B-spline basis functions. Some numerical examples employing consistent and lumped mass matrices are presented in order to compare the results of Isogeometric analysis and finite elements. The effect of increasing the number of control points and the degree of B-spline basis functions on the accuracy of the solution are also investigated. Furthermore, since the Newmark method is employed for transient dynamic analysis, the effects of parameters α and β on the solution accuracy are investigated. The obtained results demonstrate higher accuracy of the isogeometric analysis method in comparison with the FEM, despite employing fewer numbers of degrees of freedom and consequently reduction in the dimensions of system of equations and computational effort.

Keywords Isogeometric, transient dynamic analysis, Splines, consistent and lumped mass matrices

* تاریخ تصویب مقاله ۸۹/۰۵/۱۷ و تاریخ دریافت نسخه نهایی اصلاح شده ۹۱/۶/۱۳

(۱) نویسنده مسئول: دانشیار، گروه مکانیک، دانشگاه فردوسی مشهد.

(۲) دانشجوی کارشناسی ارشد سازه، دانشگاه صنعتی شاهرود

(۳) دانشجوی کارشناسی ارشد، مکانیک دانشگاه فردوسی مشهد

(۴) دکترای سازه، دانشکده فنی شهید منتظری مشهد.

مقدمه

امروزه تحلیل مسائلی که فرا روی مهندسان و محققان قرار می‌گیرد، آنان را ملزم به حل معادلاتی می‌کند که اغلب به شکل دیفرانسیلی هستند. در بیشتر مواقع حل این معادلات به روش‌های تحلیلی مقدور نیست و به‌ناچار باید از روش‌های عددی از قبیل روش تفاضل‌های محدود (Finite Difference Method)، روش اجزای محدود (Finite Element Method)، روش‌های بدون جزء (Meshless Method)؛ مانند روش نقاط محدود (Finite Point Method) و روش‌های جدیدتر؛ مانند روش تحلیل هم‌هندسه (Isogeometric Analysis Method) استفاده کرد. این روش‌ها هر یک در پی دیگری آمده و دو هدف اصلی را دنبال کرده‌اند. این اهداف عبارتند از اولاً ایجاد کارایی، دقت و سرعت بالاتر و ثانیاً ایجاد امکاناتی جدیدتر برای حل مسائل و رفع مشکلات روش‌های پیشین.

استفاده از روش اجزای محدود در تحلیل سازه‌های پیچیده و مکانیک محاسباتی به امری معمول تبدیل شده است. شاید بتوان گفت که توسعه‌ی این روش در سال‌های گذشته و وجود نرم‌افزارهای متعدد تجاری سبب کاربرد وسیع این روش در علوم مختلف از جمله در سازه و مکانیک محاسباتی شده است. اما باید دانست مزایایی مهم مانند نظام‌دار بودن روش اجزای محدود در یافتن توابع تقریب‌زننده، مدل‌سازی شکل‌های پیچیده، قابلیت تبدیل به الگوریتم‌ها و برنامه‌های رایانه‌ای و پیشرفت سریع رایانه‌ها، از علل فراگیر شدن استفاده از این روش می‌باشد. اما روش اجزای محدود دارای معایبی نیز هست که از آن جمله می‌توان به عدم تطابق کامل مدل تحلیل (یعنی شبکه اجزای محدود) با هندسه‌ی موردنظر و خطای ناشی از آن اشاره کرد. همچنین صرف هزینه و وقت قابل توجه برای تولید شبکه‌بندی مناسب از جمله مشکلات روش اجزای محدود محسوب می‌شود.

گفته می‌شود که به طور میانگین برای حل یک مسأله اجزای محدود حدود هشتاد درصد از زمان حل مسأله صرف تولید شبکه اجزای محدود می‌شود.

روش عددی حل مسائل با استفاده از اسپلاین‌ها روشی جدید است که مفاهیم آن در سال ۲۰۰۵ برای اولین بار توسط هیوز (T.J.R. Hughes) و همکارانش با نام روش هم‌هندسه معرفی گردید [1]. این روش وابسته بر یک درک هندسی از مسأله و تولید جواب‌های آن با استفاده از اسپلاین‌ها و نوع توانمندتر آن یعنی نریز (Non-Uniform Rational B-Spline) می‌باشد. ایده‌ی اصلی این روش بر استفاده از همان توابع پایه نریز مورد استفاده برای تولید هندسه، و ه منظور تقریب پاسخ معادله‌ی دیفرانسیل استوار است. به این ترتیب می‌توان گفت که با ابداع این روش فرایندهای طراحی و تحلیل در یکدیگر ادغام شدند که این امر می‌تواند پیشبرد عظیمی در زمینه‌ی روش‌های عددی به شمار آید. تا کنون این روش در حوزه‌های مختلف مکانیک محاسباتی؛ از جمله تحلیل سازه‌ای، اندرکنش سیال-سازه، انتشار حرارت، ارتعاشات سازه‌ها و غیره مورد استفاده قرار گرفته است [2,5]. در سال ۲۰۰۶ این روش برای تحلیل ارتعاشات آزاد سازه‌های مختلف؛ از جمله میله‌ها، تیرها، صفحه‌ها و پوسته‌ها مورد استفاده قرار گرفت [4]. در مقاله‌ی نام‌برده با مقایسه‌ی نتایج حاصل از روش ایزوژئومتریک و اجزای محدود، با استفاده از تعداد یکسانی از درجات آزادی، دقت و توانمندی این روش در مقایسه با روش اجزای محدود در تحلیل ارتعاشات آزاد سازه‌های مختلف، نشان داده شده است. همچنین در سال ۲۰۱۱ روش ایزوژئومتریک توسط ابوالشیری و همکاران [۶] برای تحلیل ارتعاشات آزاد مسائل تنش صفحه‌ای به کار گرفته شد. در این پژوهش برای نخستین بار دقت و کارآمدی روش هم‌هندسه در مسائل وابسته به زمان مورد بررسی قرار گرفته است.

با دیدگاهی قدری متفاوت، و در واقع کلی‌تر، نگارندگان این مقاله روشی را دنبال کرده‌اند که مستقل

و U بردار جابه‌جایی می‌باشد [9].

$$M\ddot{U} + C\dot{U} + KU = F \quad (1)$$

دستگاه معادلات فوق از لحاظ ریاضی بیانگر یک سیستم معادلات دیفرانسیل خطی مرتبه دوم است که برای حل آن می‌توان از روش‌های جمع آثار مدها و تابع اولیه‌گیری مستقیم استفاده کرد. در اینجا روش دوم مورد نظر بوده است. برای حل این معادلات می‌توان از روش‌های مختلف عددی؛ نظیر روش‌های اجزای محدود، تفاضل‌های محدود و یا روش‌های بدون شبکه به منظور گسسته‌سازی دامنه و نیز تقریب‌سازی و درون‌یابی بهره جست. در همه‌ی این روش‌ها برای داشتن دقت کافی به کارگیری نقاط گسسته‌سازی نسبتاً زیادی مورد نیاز بوده و در نتیجه، ماتریس‌های ضرایب به دست آمده بزرگ و پرهزینه می‌باشند. نظر به این ویژگی روش هم‌هندسه که در آن امکان تعریف سطوح با نقاط واریسی محدود میسر می‌باشد در اینجا این روش مورد استفاده قرار گرفته است.

برای تابع اولیه‌گیری زمانی از یک روش عددی گام به گام با استفاده از خانواده‌ی روش‌های نیومارک بهره گرفته‌ایم که خلاصه‌ی آن در جدول (۱) قابل مشاهده است [9].

در این جدول، α و γ عامل‌هایی هستند که می‌توان آنها را برای به دست آوردن دقت تابع اولیه‌گیری و پایداری روش تعیین کرد. تاکنون روش‌های مختلفی بر اساس انتخاب مقادیر گوناگون برای این پارامترها پیشنهاد شده‌اند و هر یک از آنها مزایا و معایب مختلفی دارند. موارد ارائه شده در جدول (۱) از پرکاربردترین روش‌های پیشنهادی مورد استفاده در تحلیل‌های گذرای دینامیکی به شمار می‌روند که از پایداری و دقت مناسبی برخوردار هستند. از این رو در این مقاله نیز از همین روش‌ها استفاده شده است. جزئیات بیشتر در مورد پایداری و دقت هر یک از این روش‌ها در مرجع [9] آمده است.

از هیوز و همکارانش بوده است و علاوه بر برخی مسائل معمول، در حل معادلات دیفرانسیلی که ضرایب دیفرانسیل‌ها خود توابعی هستند، با موفقیت به کار گرفته شده است [7 و 8]. در این دیدگاه به جای اندیشه‌ی جایگزین کردن جزء‌های اجزای محدود با جزء‌های گرهی (Knot elements)، حل مسأله برای هر یک از مولفه‌های میدان به صورت یک سطح (یا شبه سطح در ابعاد بالاتر از دو) تصور شده است و مختصات نقاط واریسی آن، به عنوان مجهولات مسأله، در نظر گرفته شده‌اند. در این مقاله به کارگیری این روش و کیفیت حل به دست آمده در مسائل دینامیکی مورد بررسی قرار گرفته است.

برای انجام تحلیل گذرای دینامیکی، در این روش نیز مشابه روش اجزای محدود، ماتریس‌های جرم، سختی و میرایی (در صورت وجود) ساخته شده است؛ هر چند که ماتریس‌های فوق مربوط به نقاط واریسی می‌باشند و فاقد مفهوم فیزیکی هستند. برای تابع اولیه‌گیری، زمانی از روش نیومارک که یک روش تابع اولیه‌گیری مستقیم است استفاده می‌شده است.

در بخش دوم این مقاله به معرفی تحلیل دینامیکی و در بخش سوم به معرفی اسپلاین‌ها و فن نریز و شرح مختصر عامل‌های آنها پرداخته شده است. بخش چهارم روش هم‌هندسه را در مقایسه با روش اجزای محدود معرفی کرده و در بخش پنجم نحوه‌ی به دست آوردن رابطه‌سازی معادلات حاکم، به روش اسپلاین‌ها ارائه شده است. در بخش ششم با حل مسائلی، توانایی روش مذکور نشان داده شده و در بخش هفتم نتایج و پیشنهاداتی در این خصوص بیان شده است.

تحلیل دینامیکی

معادله‌ی حرکت سازه در نوسان اجباری در اثر اعمال نیرو پس از انجام گسسته‌سازی دامنه مسأله به صورت زیر است که در آن M ماتریس جرم، \ddot{U} بردار شتاب، C ماتریس میرایی، \dot{U} بردار سرعت، K ماتریس سختی

جدول ۱. برخی از روش‌های خانواده‌ی نیومارک

$\alpha = 1/2$	$\gamma = 2\beta = 1/2$	روش شتاب میانگین ثابت
$\alpha = 3/2$	$\gamma = 2\beta = 8/5$	روش تفاضل مرکزی
$\alpha = 3/2$	$\gamma = 2\beta = 2$	روش تفاضل پسرو

معرفی اسپلاین‌ها و فن نریز

اسپلاین‌ها در واقع ابزاری ریاضی هستند که می‌توان با استفاده از اطلاعاتی اندک، منحنی‌ها و سطوح پیچیده را به صورت عددی مدل کرد [10,11]. برای تولید یک منحنی اسپلاین در حالت کلی بایستی با برخی از تعاریف و مفاهیم آن آشنا بود که به اختصار در ادامه آمده است.

بردارگره. بردار $U = \{u_0, u_1, u_2, \dots, u_m\}$ در نظر گرفته می‌شود. این بردار شامل مجموعه‌ای از اعداد حقیقی است؛ به طوری که رابطه‌ی $u_i \leq u_{i+1}$ و $(i = 0, 1, 2, \dots, m-1)$ در آن برقرار است. بردار U بردار گره (Knot Vector) و u_i ها مقادیرگره‌ی (knot) نامیده می‌شوند. بازه $[u_i, u_{i+1}]$ را یک دهانه گره‌ی (Knot Span) می‌نامیم که می‌تواند طول آن صفر باشد؛ زیرا گره‌ها لزوماً دارای مقادیر متمایز نمی‌باشند. اگر فاصله‌ی بین گره‌ها مساوی باشد، در این حالت بردار گره را یکنواخت (Uniform) می‌نامند، در غیر این صورت این بردار، غیر یکنواخت (Non-Uniform) خواهد بود.

توابع پایه اسپلاین. i امین تابع پایه اسپلاین با درجه‌ی p (یا مرتبه $p+1$) را با $N_{i,p}(u)$ نشان می‌دهند و به صورت رابطه‌ی (۲) تعریف می‌کنند.

$$N_{i,0}(u) = \begin{cases} 1 & \text{if } u_i \leq u < u_{i+1} \\ 0 & \text{otherwise} \end{cases} \quad (2)$$

توجه شود که برخی از خواص عامل‌های موجود در روابط فوق عبارتند از:

۱- $N_{i,0}(u)$ یک تابع پله‌ای (Step Function) بوده و به جز در بازه‌ی $u \in [u_i, u_{i+1})$ مقدار آن در سایر نقاط صفر است.

۲- برای $p > 0$ ، آن‌گاه $N_{i,p}(u)$ ترکیب خطی از دو تابع پایه با درجه‌ی $p-1$ می‌باشد.

۳- برای محاسبه‌ی کلیه‌ی توابع پایه به بردار گره U و درجه p نیاز می‌باشد.

۴- در صورتی که رابطه‌ی $(1-2)$ به تقسیم $\%$ برسد، آن را برابر با صفر لحاظ می‌کنند.

۵- $N_{i,p}(u)$ ها، چند جمله‌ای‌های تکه‌ای (Piecewise Polynomial) هستند که بر روی یک خط حقیقی تعریف شده و فقط بازه $[u_0, u_m]$ را تحت تأثیر قرار می‌دهند.

تولید سطوح اسپلاین و نریز. می‌توان یک سطح نریز را که دارای درجه‌ی p در جهت u و درجه‌ی q در جهت v می‌باشد را با رابطه‌ی (۳) به شکل زیر محاسبه کرد [11].

$$S(u, v) = \frac{\sum_{i=0}^n \sum_{j=0}^m N_{i,p}(u) N_{j,q}(v) w_{i,j} P_{i,j}}{\sum_{i=0}^n \sum_{j=0}^m N_{i,p}(u) N_{j,q}(v) w_{i,j}} \quad \begin{matrix} 0 \leq u \leq 1 \\ 0 \leq v \leq 1 \end{matrix} \quad (3)$$

که $\{P_{i,j}\}$ شبکه نقاط واریسی و $\{w_{i,j}\}$ وزن مربوط به آنها می‌باشند. توجه شود که اگر وزن کلیه نقاط مساوی یک لحاظ شود، آن‌گاه منحنی‌ها و سطوح تولیدی را با عنوان اسپلاین می‌شناسند و در غیر این صورت منحنی‌ها و سطوح نریز تولید می‌شوند. همچنین $\{N_{i,p}(u)\}$ و $\{N_{j,q}(v)\}$ توابع پایه غیرگویای اسپلاین (Non-rational B-spline basis function) می‌باشند که بر روی بردارهای (۵ و ۶) تعریف می‌شوند.

کلی تحلیل هم‌هندسه با استفاده از فن نریز در مقایسه با روش اجزای محدود، مبتنی بر اصولی می‌باشد [1] که عبارتند از:

۱- در این روش به جای جزءها، شبه جزءها وجود دارد که با ضرب بردارهای گره حاصل می‌شوند و باید توجه کرد که به هیچ عنوان مفهوم آن مانند جزءها در روش اجزای محدود نمی‌باشد. به عنوان مثال، در مسائل دوعدی مانند مسائل تنش/کرنش مسطح این شبکه جزء به صورت $U \times V$ خواهد بود که پیش‌تر به آن اشاره شده است.

۲- جزءها از تقسیم دامنه توسط دهانه‌های گرهی (Knot spans) به دست می‌آیند.

۳- هندسه‌ی مسأله با مشارکت شبکه نقاط واریسی و توابع پایه تولید می‌شود.

۴- با استفاده از مفهوم هم‌عاملی (Isoparametric) مجهولات را مانند تغییر مکان‌ها، تنش‌ها، سرعت، حرارت و غیره با همان توابع پایه‌ای، که برای تعریف هندسه استفاده شده، بیان کرده است.

۵- درجات آزادی عبارتند از متغیرهای واریسی (Control variables) که همان ضرایب توابع پایه می‌باشند.

در جدول (۲) می‌توان مقایسه‌ای را بین روش اجزای محدود و روش هم‌هندسه از دیدگاه مشابهت برخی مشخصه‌های کلیدی در هریک از دو روش ملاحظه کرد.

به دست آوردن رابطه‌سازی روش هم‌هندسه

در این بخش پس از دستیابی به تجربیاتی در خصوص روش هم‌هندسه در کارهای پژوهشی گذشته [۸ و ۷]، ابتدا معادله‌ی دیفرانسیل حاکم بر مسأله‌های تنش/کرنش مسطح معرفی شده و سپس مراحل دستیابی به فرمول‌بندی روش هم‌هندسه برای حل این مسائل بیان شده است.

$$U = \{ \underbrace{0, \dots, 0}_{p+1}, u_{p+1}, \dots, u_{r-p-1}, \underbrace{1, \dots, 1}_{p+1} \} \quad (4)$$

$$V = \{ \underbrace{0, \dots, 0}_{q+1}, v_{q+1}, \dots, v_{s-q-1}, \underbrace{1, \dots, 1}_{q+1} \} \quad (5)$$

توجه شود که روابط $r = n + p + 1$ و

$s = m + q + 1$ نیز برقرار می‌باشند و اگر $R_{i,j}^{p,q}(u, v)$

به شکل رابطه‌ی (۵) در زیر تعریف شود:

$$R_{i,j}^{p,q}(u, v) = \frac{N_{i,p}(u) N_{j,q}(v) w_{i,j}}{\sum_{k=0}^n \sum_{l=0}^m N_{k,p}(u) N_{l,q}(v) w_{k,l}} \quad (6)$$

اکنون می‌توان رابطه‌ی (۶) را به شکل (۷) باز نویسی کرد.

$$S(u, v) = \sum_{i=0}^n \sum_{j=0}^m R_{i,j}^{p,q}(u, v) P_{i,j} \quad (7)$$

با استفاده از رابطه‌ی (۷) می‌توان هر گونه سطح و

رویه‌ی پیچیده‌ای را ایجاد کرد که در این جا در روش هم‌هندسه، برای حل مسائل از این روابط برای الگوسازی جواب‌ها استفاده می‌شود. قابل ذکر است که در مدل‌سازی و تحلیل هندسه‌های پیچیده‌تر؛ از جمله مقاطع مخروطی، به منظور مدل‌سازی دقیق هندسه بایستی از منحنی‌های نریز به جای بی‌اسپلاین‌ها استفاده کرد. در این مقاله رابطه‌سازی مسأله در حالت کلی و بر پایه‌ی منحنی‌های نریز استخراج شده است؛ ولی از آنجایی که مثال‌های حل شده هندسه‌ی ساده‌ای دارند، برای مدل‌سازی آنها از بی‌اسپلاین‌ها استفاده شده است. اطلاعات تکمیلی در این خصوص از مراجع [11,12] قابل دستیابی می‌باشد.

روش هم‌هندسه در مقایسه با روش اجزای

محدود

روش هم‌هندسه. در اصل از ترکیب فن‌های طراحی توسط رایانه (Computer Aided Design) و روش اجزای محدود حاصل شده است [1,11]. چهارچوب

$$C_{11} = C_{22} = \frac{E}{1-\mu^2}, \quad C_{12} = \mu C_{11}, \quad C_{66} = G_{12} \quad (10)$$

و در مسأله‌های کرنش مسطح با مصالح همسان گرد از روابط (۱۱) به دست می‌آیند [13].

$$C_{11} = \frac{E(1-\mu)}{1-\mu-2\mu^2}, \quad C_{22} = \frac{E(1-\mu^2)}{(1+\mu)(1-\mu-2\mu^2)}, \quad C_{12} = \frac{\mu E}{1-\mu-2\mu^2}, \quad C_{66} = G_{12} \quad (11)$$

در ادامه جواب مسأله به صورت روابط (۱۲) برای تغییر مکان $u(r,s)$ و (۱۳) برای تغییر مکان $v(r,s)$ در دامنه‌ی مسأله در نظر گرفته شده است که در واقع از تعریف تولید رویه‌ی اسپلاین حاصل شده است. همچنین تغییر مکان در (r,s) متناظر با هر نقطه (x,y) در دامنه‌ی مسأله از روی ارتفاع رویه حل استخراج می‌شود که r و s همان عامل‌هایی هستند که مقادیرشان با توجه به بردار گره حاصل می‌شود.

$$u(r,s) = \frac{\sum_{i=0}^n \sum_{j=0}^m N_{i,p}(r) N_{j,q}(s) w_{i,j} U_{i,j}}{\sum_{i=0}^n \sum_{j=0}^m N_{i,p}(r) N_{j,q}(s) w_{i,j}} = \sum_{i=0}^n \sum_{j=0}^m R_{i,j}^{p,q}(r,s) U_{i,j} \quad (12)$$

$$v(r,s) = \frac{\sum_{i=0}^n \sum_{j=0}^m N_{i,p}(r) N_{j,q}(s) w_{i,j} V_{i,j}}{\sum_{i=0}^n \sum_{j=0}^m N_{i,p}(r) N_{j,q}(s) w_{i,j}} = \sum_{i=0}^n \sum_{j=0}^m R_{i,j}^{p,q}(r,s) V_{i,j} \quad (13)$$

همچنین در کلیه روابط بایستی به جای x و y نیز از روابط عاملی مشابه استفاده کرد و آنها را با

جدول ۲ مقایسه‌ی روش اجزای محدود و روش هم‌هندسه

روش اجزای محدود	روش هم‌هندسه
نقاط گرهی	نقاط واریسی
متغیرهای گرهی	متغیرهای واریسی
شبکه اجزای محدود	مقادیر گره‌ها در بردار گره
انجام درون‌یابی نقاط و متغیرهای گرهی با توابع پایه	عدم انجام درون‌یابی نقاط و متغیرهای واریسی با توابع پایه
هندسه تقریبی	هندسه دقیق
توابع پایه از نوع چندجمله‌ای	توابع پایه نرَبز
زیردامنه‌ها	وصله‌ها

همان‌گونه که از نگره‌ی کشسانی برمی‌آید، معادلات دیفرانسیل (۸) به طور هم‌زمان بر مسائل تنش/کرنش مسطح حاکم می‌باشند [13].

$$-\frac{\partial}{\partial x} \left(c_{11} \frac{\partial u}{\partial x} + c_{12} \frac{\partial v}{\partial y} \right) - \frac{\partial}{\partial y} \left[c_{66} \left(\frac{\partial u}{\partial y} + \frac{\partial v}{\partial x} \right) \right] = f_x - \rho \frac{\partial^2 u}{\partial t^2} \quad (8)$$

$$-\frac{\partial}{\partial x} \left[c_{66} \left(\frac{\partial u}{\partial y} + \frac{\partial v}{\partial x} \right) \right] - \frac{\partial}{\partial y} \left(c_{12} \frac{\partial u}{\partial x} + c_{22} \frac{\partial v}{\partial y} \right) = f_y - \rho \frac{\partial^2 v}{\partial t^2}$$

در این معادلات شرایط مرزی طبیعی به صورت روابط (۹) بیان می‌شوند.

$$t_x = \left(c_{11} \frac{\partial u}{\partial x} + c_{12} \frac{\partial v}{\partial y} \right) n_x + c_{66} \left(\frac{\partial u}{\partial y} + \frac{\partial v}{\partial x} \right) n_y$$

$$t_y = c_{66} \left(\frac{\partial u}{\partial y} + \frac{\partial v}{\partial x} \right) n_x + \left(c_{12} \frac{\partial u}{\partial x} + c_{22} \frac{\partial v}{\partial y} \right) n_y \quad (9)$$

که در این رابطه n_x و n_y بردارهای یکه در جهت محورهای x و y ، و t_x و t_y مؤلفه‌های افقی و عمودی نیروهای گسترده سطحی وارد بر جسم هستند. در این روابط، c_{ij} ‌ها ضرایب کشسانی می‌باشند که با فرض ثابت بودن ضریب پواسون و ضریب کشسانی در سراسر دامنه‌ی حل مسأله، در حالت کلی برای مسأله‌های تنش مسطح با مصالح همگن از روابط (۱۰) به شکل زیر،

جواب محاسبه کرد. سپس با استفاده از رابطه تولید رویه و فن معکوس نیز می توان مقدار تغییر مکان برای هر نقطه دلخواه از مسأله و یا ترازهای تنش و تغییر مکان را برای مسأله به دست آورد.

$$[M]\{\ddot{U}\} + [K]\{U\} = \{F\} \quad (17)$$

که در این رابطه $[M]$ ماتریس جرم، $\{\ddot{U}\}$ بردار شتابها، $[K]$ ماتریس ضرایب، $\{F\}$ بردار نیروها و $\{U\}$ بردار تغییر مکانها می باشند. قابل ذکر است که مقادیر نیروهای معادل بر روی نقاط واریسی ناشی از اعمال بارهای گسترده ی سطحی و حجمی به جسم با استفاده از جمله های رابطه ی تابع اولیه گیری (۱۶) به سادگی قابل محاسبه است. بردار $\{F\}$ در رابطه ی (۱۷) بیانگر مجموع این نیروها است. قابل ذکر است که هر چند در حالت کلی لزوماً نقاط واریسی بر روی هندسه ی جسم قرار ندارند، ولی این امر به معنای اعمال بارگذاری و یا شرایط مرزی تکیه گاهی به خارج از فضای هندسی نیست؛ و همان طور که اشاره شد، برای اعمال شرایط مرزی موجود تنها کافی است سهم هر یک از نقاط واریسی با استفاده از رابطه ی (۱۶) محاسبه شود. همچنین سهم هر یک از نقاط واریسی در نتیجه ی اعمال بارهای متمرکز نیز با استفاده از همین رابطه و به کمک مفهوم تابع دلتای دیراک (Dirac Delta function) به سادگی قابل محاسبه است. اعمال شرایط مرزی ضروری همگن نیز مشابه روش اجزای محدود و بر روی نقاط واریسی مرزی صورت می گیرد. اضافه می گردد که تنها اعمال شرایط مرزی ضروری غیرهمگن به دلیل عدم ارضای خاصیت تابع دلتای کرونیکر (Kronecker Delta) توسط توابع پایه نیز، در این روش برخلاف روش اجزای محدود به صورت دقیق امکان پذیر نیست.

ماتریس جرمی به دست آمده از رابطه ی (۱۷) ماتریس جرمی سازگار نامیده می شود که در حالت

عامل های Γ و s جایگزین نمود. در این رابطه، s و Γ مختصات مربوط به دستگاه مختصات پارامتری هستند، که در روابط (۷-۲) با u و v نشان داده شده اند. در این جا به دلیل نمایش مؤلفه های متغیر میدانی با u و v ، از این عامل ها استفاده شده است. اکنون می توان تابع نمای (Functional) مربوطه را به شکل رابطه (۱۴) نوشت.

$$\Pi = \frac{1}{2} B(u, u) - I(u) \quad (14)$$

که در این رابطه u بردار تغییر مکان و $B(u, u)$ و $I(u)$ به ترتیب بخش های دوخطی (Bilinear) و خطی (Linear) تابع نما طبق روابط (۱۵ و ۱۶) می باشند.

$$B(u, u) = h_{patch} \int_{\Omega_{patch}} \left[c_{11} \left(\frac{\partial u}{\partial x} \right)^2 + 2c_{12} \frac{\partial u}{\partial x} \frac{\partial v}{\partial y} + c_{22} \left(\frac{\partial v}{\partial y} \right)^2 + c_{66} \left(\left(\frac{\partial u}{\partial y} \right)^2 + 2 \frac{\partial u}{\partial y} \frac{\partial v}{\partial x} + \left(\frac{\partial v}{\partial x} \right)^2 \right) \right] J drds \quad (15)$$

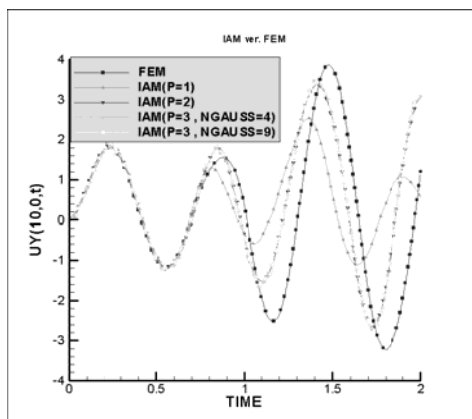
و

$$I(u) = -h_e \int_{\Omega_e} [u f_x + v f_y - \rho(u \ddot{u} + v \ddot{v})] dx dy - h_{patch} \int_{\Gamma_{patch}} (u t_x + v t_y) d\Gamma \quad (16)$$

زیرنویس patch در این جا مشابه روش اجزای محدود که برای المان ها استفاده می شود، برای وصله های تشکیل دهنده هندسه مسأله استفاده شده است. همچنین از پارامتر Γ برای انتگرال گیری روی مرزها و از پارامتر Ω برای انتگرال گیری روی سطح استفاده شده است. t_x و t_y نیروهای خارجی (Traction forces) و پارامتر h نیز ضخامت هر وصله می باشد.

پس از نوشتن شکل ضعیف معادلات و محاسبه ژاکوبین های مورد نیاز (۲) دستگاه معادلاتی به شکل رابطه (۱۷) به دست می آید که با حل آن می توان مختصات ارتفاع نقاط واریسی را برای تولید رویه ی

مثال ۲. اثر درجه منحنی اسپلاین‌ها بر دقت جواب مثال قبل با منحنی‌های درجه ۱ و ۲ و ۳ مورد بررسی قرار گرفته و با روش اجزای محدود مقایسه شده است. نتایج این بررسی به صورت زیر می‌باشد.

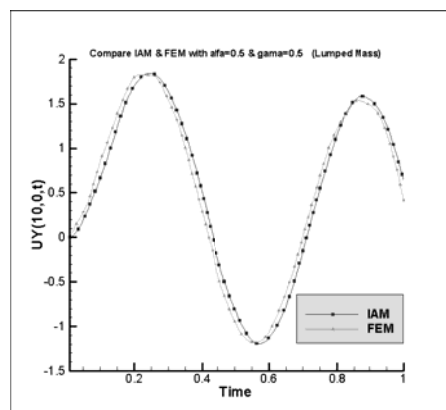


شکل ۲ نمودار تغییر مکان- زمان مثال ۲

بعد از بررسی ملاحظه می‌شود که در $P = 2$ نسبت به $P = 1$ جواب‌ها انطباق بهتری با روش اجزای محدود دارند. همچنین افزایش درجه‌ی منحنی به مقدار ۳ تأثیر چندانی بر بهبود جواب نخواهد داشت. همچنین بررسی انجام‌شده نشان داده که استفاده از ۹ نقطه گوسی در مقایسه با ۴ نقطه گوسی به هنگام استفاده از منحنی اسپلاین درجه ۳ تنها باعث بهتر شدن کیفیت نمودار تغییر مکان- زمان در نقاط اوج نمودار می‌شود.

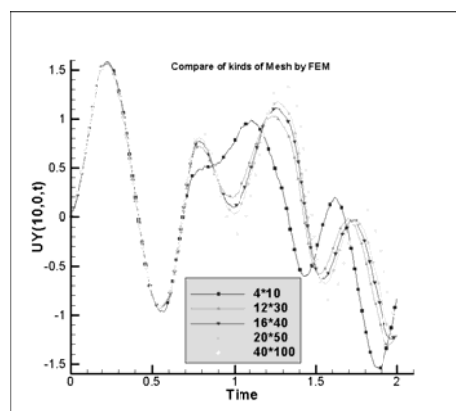
مثال ۳. اثر تعداد نقاط و ارسی بر دقت جواب. در این قسمت مثال ۱ ثابت نگه داشتن درجه‌ی منحنی اسپلاین و افزایش نقاط و ارسی در دو حالت جرم متمرکز و سازگار مورد بررسی قرار گرفته که در زیر مشاهده می‌شود.

همان طور که ملاحظه می‌شود، افزایش نقاط و ارسی باعث بهبود جواب خواهد شد. البته این روند



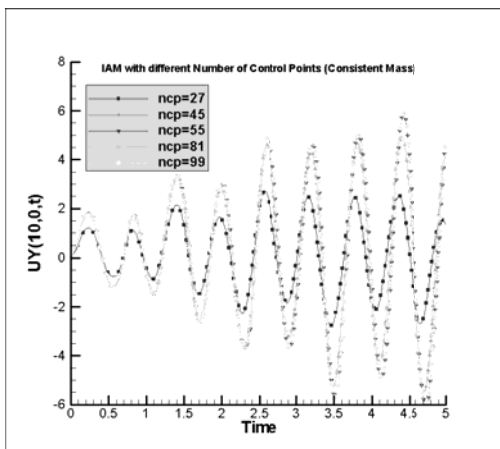
شکل ۴ نمودار تغییر مکان- زمان مثال ۱- جرم متمرکز

ملاحظه می‌شود که در هر دو حالت ماتریس جرم جواب‌های مناسبی به دست می‌آید و عدم انطباق کامل نمودارها قابل قبول است زیرا با توجه به این که در روند حل دینامیکی از تغییر مکان، سرعت و شتاب در گام زمانی قبل استفاده می‌گردد، این عدم انطباق قابل پیش‌بینی است: از طرفی این عدم انطباق در بررسی این صفحه با شبکه‌بندی‌های مختلف به کمک روش اجزای محدود نیز ملاحظه می‌شود که در شکل زیر نشان داده شده است.

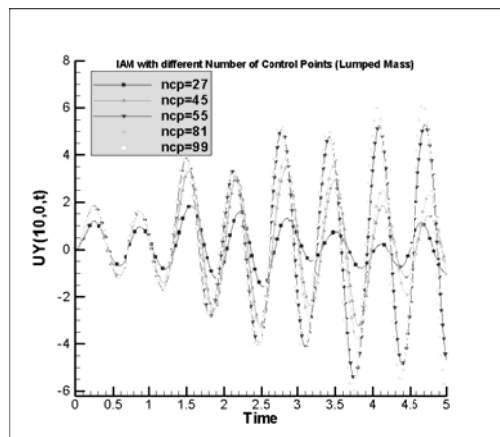


شکل ۵ مقایسه‌ی نمودارهای تغییر مکان- زمان با شبکه‌بندی‌های مختلف به روش اجزای محدود

مشاهده می‌شود در حالتی که از ماتریس جرم متمرکز استفاده می‌شود، افزایش نقاط واریسی به تنهایی منجر به جواب دقیق‌تر نمی‌شود، بلکه این افزایش نقاط باید به نحوی باشد که نسبت فاصله‌ی طولی و عرضی نقاط واریسی زیاد نباشد، زیرا با افزایش نقاط واریسی به ۸۱ دیده می‌شود که جواب‌ها از مقدار صحیح خود دور می‌شوند.

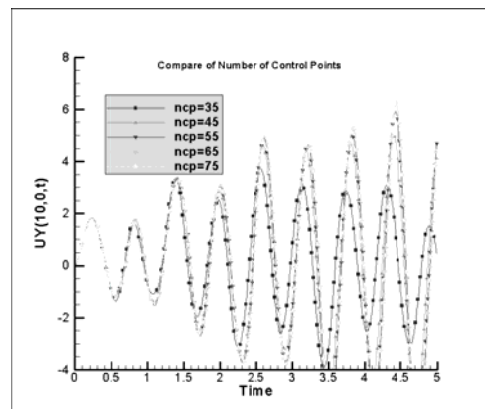


شکل ۹ نمودار مثال ۳ با تعداد نقاط واریسی متفاوت و با ماتریس جرم سازگار

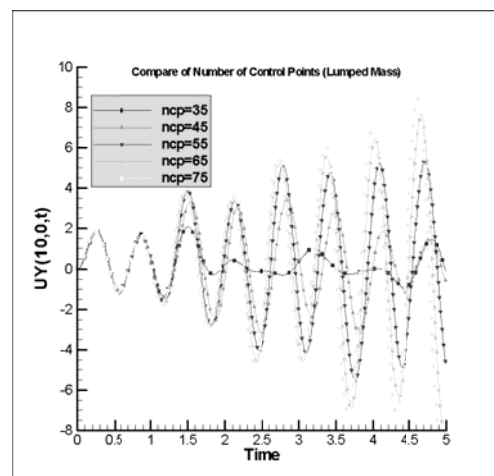


شکل ۱۰ نمودار مثال ۳ با تعداد نقاط واریسی متفاوت و با ماتریس جرم متمرکز

افزایش نقاط واریسی باید با اصولی همراه باشد که در ادامه توضیح داده شده است.



شکل ۷ نمودار مثال ۳ با تعداد نقاط واریسی متفاوت و با ماتریس جرم سازگار



شکل ۸ نمودار مثال ۳ با تعداد نقاط واریسی متفاوت و با ماتریس جرم متمرکز

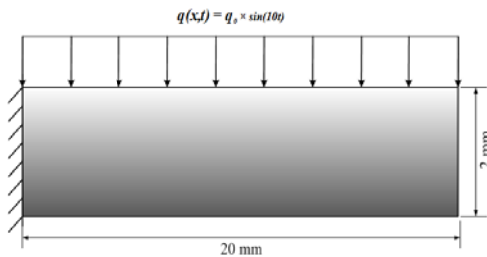
به هنگام استفاده از ماتریس جرم متمرکز اگر نحوه‌ی افزایش نقاط به گونه‌ای باشد که نسبت فاصله‌ی طولی و عرضی نقاط واریسی را کاهش دهد، این روند به بهبود جواب کمک می‌کند ولی در غیراین صورت چنین نخواهد بود که در شکل (۱۰) ملاحظه می‌کنید.

در این مثال روش‌های شتاب میانگین ثابت، تفاضل مرکزی و تفاضل پسرو که از خانواده نیومارک می‌باشند با یکدیگر مقایسه می‌شوند. ملاحظه می‌شود که جواب‌ها در این سه روش تقریباً به یک جواب همگرا می‌شوند و از طرفی دو روش هم‌هندسه و اجزای محدود نیز همگرایی خوبی با یکدیگر دارند.

مثال ۵. تیر یک‌سرگیردار-یک‌سرآزاد شکل زیر را در نظر بگیرید. این تیر تحت بار گسترده خطی در سرتاسر طول خود می‌باشد. طول تیر ۲۰۰ میلی‌متر، عرض آن ۲۰ میلی‌متر و ضخامت آن برابر ۵ میلی‌متر می‌باشد. خواص مکانیکی تیر به شرح زیراند:

$$E = 210 \text{ GPa}, \nu = 0.29, \rho = 7806 \text{ kg/m}^3$$

هندسه و شرایط مرزی تیر در شکل (۱۳) نشان داده شده است. همان‌طور که در این شکل نشان داده شده است، یک بار گسترده یکنواخت بر روی صفحه‌ی بالایی اعمال شده است که به صورت سینوسی با زمان تغییر می‌کند. در این مثال، تنها تغییر مکان وابسته به زمان گره میانی انتهای تیر مورد بررسی قرار گرفته است.

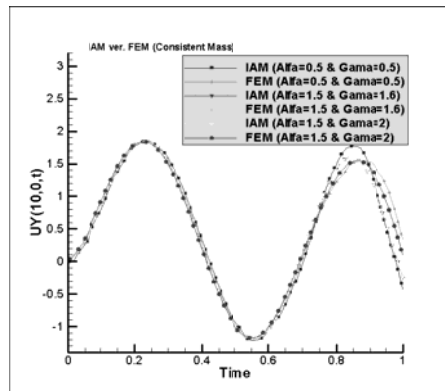


شکل ۱۳ هندسه و شرایط مرزی تیر یک‌سرگیردار

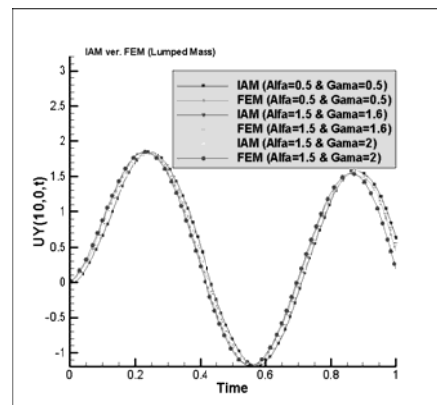
مثال فوق با استفاده از هر دو روش اجزای محدود و ایزوژنومتریک مورد بررسی قرار گرفته است. به منظور تحلیل مسأله با استفاده از روش

در این روند افزایش نقاط واریسی سعی شده است که تغییرات نسبت فاصله‌های نقاط واریسی در دو راستای عمود بر هم نیز مورد ارزیابی قرار گیرد تا از افزایش بی‌مورد نقاط که تأثیر منفی بر جواب‌ها می‌گذارد، جلوگیری شود.

مثال ۴. مثال ۱ با تغییر عامل‌های α و γ مورد بررسی قرار می‌گیرد و دو روش هم‌هندسه و اجزای محدود در دو حالت جرم متمرکز و سازگار با هم مقایسه می‌شود.



شکل ۱۱ مقایسه‌ی دو روش هم‌هندسه و اجزای محدود با خود و با یکدیگر به کمک عامل‌های آلفا و گاما - جرم سازگار



شکل ۱۲ مقایسه دو روش هم‌هندسه و اجزای محدود با خود و با یکدیگر به کمک عامل‌های آلفا و گاما - جرم متمرکز مثال ۴

برابر ۱ سانتی‌متر است. خواص مکانیکی صفحه به شرح زیراند:

$$E = 70 \text{ GPa} , \quad \nu = 0.3 , \quad \rho = 1000 \frac{\text{Kg}}{\text{m}^3}$$

$$f_1(t)$$

5 mm

3 cm

$$f_2(t)$$

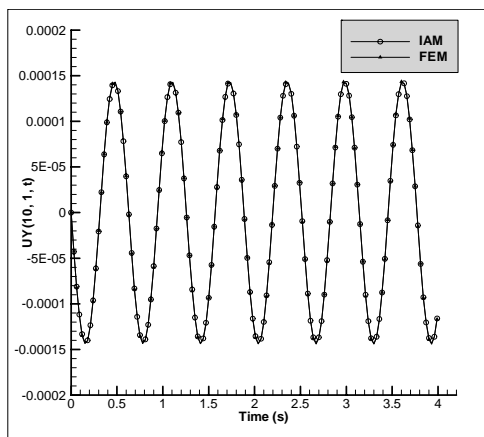
10 cm

شکل ۱۵ هندسه و شرایط مرزی صفحه با سطح مقطع متغیر

همان‌طور که در شکل (۱۵) نشان داده شده است، این صفحه تحت اثر دو بار نقطه‌ای سینوسی در نقاط گوشه‌ای سر آزاد خود که به صورت $f_1(t) = f_2(t) = 2000 \times \sin(20t)$ با زمان تغییر می‌کنند، می‌باشد. شبکه‌بندی اجزای محدود و نیز شبکه‌ی نقاط کنترلی مورد استفاده برای حل این مثال به ترتیب در شکل‌های (۱۷ و ۱۶) نشان داده شده‌اند. همان‌طور که مشاهده می‌شود، شبکه‌بندی اجزای محدود مورد استفاده شامل ۸۵ نقطه‌ی گرهی (معادل ۱۷۰ درجه‌ی آزادی) و شبکه‌ی نقاط کنترلی شامل ۳۳ نقطه‌ی کنترلی (۶۶ درجه‌ی آزادی) می‌شود. در این‌جا میزان جابه‌جایی گره میانی انتهای تیر بر حسب زمان مورد بررسی قرار گرفته و در شکل (۱۸) در بازه‌ی صفر تا پنج ثانیه رسم شده است.

قابل ذکر است که در هر دو روش از تعداد یکسان ۴ نقطه‌ی گوسی در هر المان یا دهانه‌ی گرهی برای تابع اولیه‌گیری استفاده شده است و همان‌طور که شکل (۱۸) نشان می‌دهد، نتایج انطباق نسبتاً خوبی به ویژه در زمان‌های ابتدایی با یکدیگر دارند.

ایزوژئومتری، از یک شبکه‌ی ۲۰ در ۳ از نقاط کنترلی که شامل ۱۲۰ درجه آزادی است، استفاده شده است. همچنین توابع پایه مورد استفاده از درجه‌ی ۲ و بردار گرهی به صورت یکنواخت در نظر گرفته شده است. در حالی که برای تحلیل با استفاده از روش اجزای محدود از ۴۰ المان درجه‌ی ۲ (المان سرنیپیتی) که مجموعاً شامل ۳۳۶ درجه‌ی آزادی می‌شود، استفاده شده است. نمودار جابه‌جایی گره میانی انتهای تیر بر حسب زمان در شکل (۱۴) نشان داده شده است. همان‌طور که مشاهده می‌شود، علی‌رغم آن که در روش ایزوژئومتری از تعداد بسیار کمتری از درجات آزادی استفاده شده است، نتایج کاملاً بر یکدیگر منطبق شده‌اند. از آنجایی که حل این مثال با استفاده از روش ایزوژئومتری منجر به حل دستگاه معادلات بسیار کوچک‌تری نسبت به روش اجزای محدود می‌شود، لذا قاعداً زمان محاسباتی مورد استفاده در این روش بسیار کم‌تر خواهد بود.



شکل ۱۴ نمودار تغییر مکان-زمان مثال ۵-جرم سازگار

مثال ۶. صفحه‌ی یک‌سرگردار-یک‌سرآزاد با مقطع متغیر شکل زیر را در نظر بگیرید. طول صفحه ۱۰ سانتی‌متر، عرض آن در ابتدا برابر ۵ سانتی‌متر و در انتها برابر ۳ سانتی‌متر می‌باشد. ضخامت صفحه نیز

چشم‌گیر زمان محاسبات خواهد شد.

نتیجه‌گیری و پیشنهادات

پس از بررسی‌های انجام‌شده نتایجی به شرح زیر به دست آمد:

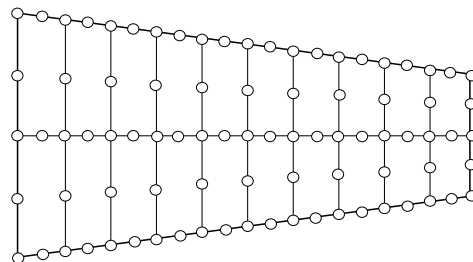
در حل مسائل هم ماتریس جرم سازگار و هم ماتریس جرم متمرکز جواب‌های مناسبی ارائه کردند. افزایش درجه‌ی منحنی اسپلاین‌ها و افزایش تعداد نقاط گوسی باعث بهبود جواب در تحلیل دینامیکی خواهد شد.

در تحلیل دینامیکی به کمک ماتریس جرم متمرکز، افزایش تعداد نقاط واری واری باید با یک شرط همراه باشد تا به جوابی مناسب‌تر نائل گردد. و شرط یادشده آن است که نسبت فاصله‌ی طولی و عرضی (Aspect ratio) نقاط واری بیشتر از ۴ نباشد.

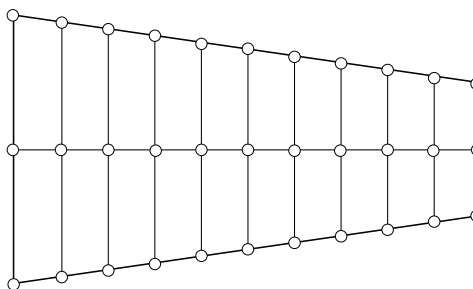
با توجه به نمودارهای ارائه شده، در مقایسه‌ی روش‌های شتاب میانگین ثابت، تفاضل مرکزی و تفاضل پسرو با یکدیگر به کمک روش هم‌هندسه جواب‌های مناسبی ارائه شد. علاوه بر این، تحلیل دینامیکی با این سه روش به کمک روش‌های اجزای محدود و هم‌هندسه با یکدیگر مقایسه شد که جواب‌ها تقریباً بر یکدیگر منطبق شدند.

عدم انطباق کامل جواب‌ها در تحلیل دینامیکی به کمک دو روش اجزای محدود و هم‌هندسه قابل پیش‌بینی است؛ زیرا در حل مسائل از شتاب، سرعت و جابه‌جایی گام زمانی قبل استفاده می‌شود. لذا در بررسی انجام‌شده به روش اجزای محدود، با شبکه‌بندی‌های مختلف دیده شد که با افزایش تعداد گره‌ها و در نتیجه کوچک شدن جزء‌ها، نمودار تغییر مکان- زمان گره‌های مشخص، دیگر بر هم منطبق نیست اما، از شکل خاصی پیروی می‌کند.

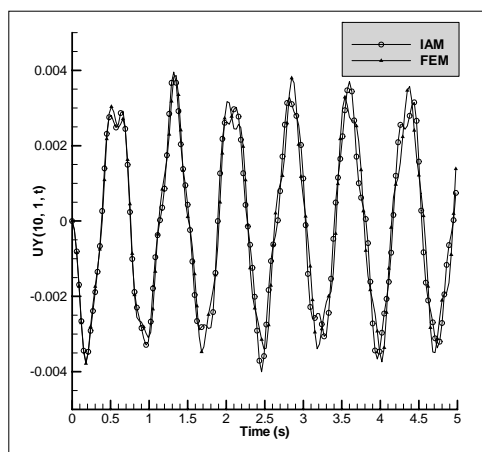
تمام کارهای ارائه‌شده در این مقاله در حیطه‌ی مسأله‌های همگن قرار دارند و به عنوان کارهای پیشنهادی می‌توان این بررسی‌ها را در رابطه با



شکل ۱۶ شبکه‌بندی روش اجزای محدود مثال ۶



شکل ۱۷ شبکه‌ی نقاط واری مثال ۶



شکل ۱۸ نمودار جابه‌جایی گره میانی انتهای تیر

بر حسب زمان

این در حالی است که ابعاد دستگاه معادلات حاصل از روش ایزوژئومتری تقریباً یک سوم روش اجزای محدود می‌باشد و قاعدتاً منجر به کاهش

مسئله‌های همسانی عمودی نیز به انجام رساند. همچنین با توجه به در اختیار داشتن ماتریس جرم و سختی می‌توان کلیه کارهای فوق را در حیطه‌ی

مسئله‌های همگن و همسانی عمودی با حضور میرایی انجام داد.

مراجع

- Hughes, T.J.R., Cottrell, J.A. and Bazilevs, Y., "Isogeometric analysis: CAD, finite elements, NURBS, exact geometry and mesh refinement, Computer Methods in Applied Mechanics and Engineering", Vol. 194, pp. 4135-4195, (2005).
- Bazilevs, Y., Calo, V.M., Hughes, T.J.R. and Zhang, Y., "Isogeometric fluid-structure interaction: theory, algorithms, and computations", Computational Mechanics, Vol. 43, pp. 3-37, (2008).
- Zhang, W.L., Mo, R., Wan, N. and Zhang, Q., "Isogeometric analysis of heat transfer in fluids", Applied Mechanics and Materials, Vol. 105, pp. 2174-2178, (2012).
- Cottrell, J.A., Reali, A., Bazilevs, Y. and Hughes, T.J.R., "Isogeometric analysis of structural vibrations", Computer Methods in Applied Mechanics and Engineering, Vol. 195, pp. 5257-5296, (2006).
- Reali, A., "An Isogeometric Analysis approach for the study of structural vibrations", Journal of Earthquake Engineering, Vol. 10, pp. 1-30, (2006).
- ابوالبشری، م.ح.، حسینی، ب.، حسن‌زاده، ع.، ژبانی عیدگاهی، ا. و ظریف مقدم، ن.، «تحلیل ارتعاشات آزاد مسائل تنش صفحه‌ای با استفاده از روش ایزوژئومتریک»، اولین کنفرانس بین‌المللی آکوستیک و ارتعاشات، دانشگاه صنعتی امیرکبیر، تهران، ایران، (۱۳۹۰).
- Hassani, B., Moghaddam, N.Z. and Tavakkoli, S.M., "Isogeometrical solution of Laplace equation", Asian journal of civil engineering (building and housing), Vol. 10, no. 6, pp. 579-592, (2009).
- حسینی، ب. و ظریف مقدم، ن.، «توسعه روش عددی جدید برای حل معادلات دیفرانسیل متداول با استفاده از توابع پایه اسپلاین‌ها»، گزارش فنی شماره ۱۰۱۵، دانشگاه صنعتی شاهرود، ایران، (۱۳۸۸).
- Clough, R.W. and Penzien, J., "Dynamics of Structures", McGraw-Hill, New York, (1993).
- Hassani, B., Khanzadi, M., Tavakkoli, S.M. and Moghaddam, N.Z., "Isogeometric shape optimization of three dimensional problems", 8th World Congress on Structural and Multidisciplinary Optimization, June 1-5, Lisbon, Portugal, (2009).
- Piegl, L. and Tiller, W., "The NURBS Book (Monographs in Visual Communication)", Second ed., Springer-Verlag, New York, (1997).
- Rogers, D.F., "An Introduction to NURBS: With Historical Perspective", Second ed., Morgan Kaufmann publishers, (2001).
- REDDY, J. N., "An Introduction to the Finite Element Method", McGraw-Hill, Inc, (1993).